

## ДОСЛІДЖЕННЯ ОСНОВНОГО ТА ЗБУДЖЕНОГО РІВНІВ ЯДРА ${}^5\text{Li}$

О. К. Горпинич, Віт. М. Пірнак, О. М Поворозник, Ю. С. Рознюк, Б. Г. Стружко

За допомогою тричастинкової реакції  ${}^2\text{H}(\alpha, \text{p})n$  у кінематично повному експерименті досліджувалася  $\alpha+d$  система при енергії пучка  $\alpha$ -частинок 27.2 MeV. Визначені параметри основного та першого збудженого стану ядра  ${}^5\text{Li}$ . Було описано спектр  $\alpha$ -збігів в рамках моделі послідовного збудження та розпаду першого збудженого та основного станів  ${}^5\text{Li}$  по  $\alpha+p$  каналу. Найкраще узгодження з експериментальними даними отримано для таких значень параметрів основного  $E_{\alpha p} = 2,14 \text{ MeV}$ ,  $\Gamma = 1,30 \text{ MeV}$  та першого збудженого станів:  $E_{\alpha p} = 4.8 \text{ MeV}$ ,  $\Gamma = 2,0 \text{ MeV}$  ядра  ${}^5\text{Li}$ .

Розпади нестабільних ядер є невичерпним джерелом інформації про властивості ядерних систем та взаємодію, яка визначає їх існування. Рівні незв'язаних малонуклонних систем, за звичай, спостерігаються як резонанси в пружному розсіянні нуклонів на ядрах або як нестабільні кінцеві ядра в інклузивних спектрах, а також як резонанси в кореляційних експериментах. До таких цікавих нестабільних малонуклонних ядерних систем і належить ядро  ${}^5\text{Li}$ , уточненню параметрів основного та збудженого рівнів якого присвячена дана робота. Вивчення параметрів резонансів  ${}^5\text{Li}$  з реакції взаємодії  $\alpha$ -частинок з дейтерієм є одним з найбільш прямих методів, де вплив оточення мінімізований (фактично присутній тільки один нуклон). Завдяки експериментальним труднощам та неадекватності методів аналізу, які використовуються для визначення енергії та ширини незв'язаних станів, існує значна розбіжність, незважаючи на велику кількість робіт з цього питання (див. таблицю). Не виключено, що ця розбіжність викликана особливостями структури легких ядер, які не визначаються в сучасних експериментах за різних причин (недостатні величини енергій збудження, при яких вивчалися ці системи, невизначеність геометрії внаслідок невиконання певних кінематичних умов, систематичні похибки різних експериментальних методик). Питання про залежність значень таких фундаментальних величин, як ширина та енергетичне положення рівнів ядер з  $A = 5$  від енергії активації, способу їх утворення, кутів спостереження в кореляційних експериментах [1], залишається відкритим. Суттєвим на визначення цих величин може бути вплив інших резонансних рівнів, величина прояву яких залежить від конкретної реакції, в якій досліджується даний резонансний рівень [3], а також можливість існування широких збуджених станів з позитивною парністю для систем з  $A = 5$  (в області енергій збудження близько 7 MeV) [11]. При отриманні параметрів резонансів з аналізу інклузивних спектрів дуже важливим є якомога повне та коректне врахування всіх можливих каналів реакції утворення зареєстрованих частинок [4, 5].

Досить перспективним з точки зору мінімальної можливої кількості відкритих каналів, які можуть впливати на адекватний опис утворених вищезгаданих рівнів  ${}^5\text{Li}$ , є їх дослідження за допомогою  ${}^2\text{H} + \alpha$  взаємодії. У випадку тричастинкової реакції  ${}^2\text{H}(\alpha, \text{p})n$  можливе утворення на першому етапі резонансів основного та збуджених рівнів ядер  ${}^5\text{He}$  та  ${}^5\text{Li}$  з подальшим їх розпадом на  $\alpha$ -частинку і нейtron та  $\alpha$ -частинку й протон відповідно. У роботі [2] в кінематично повному експерименті за допомогою тричастинкової  ${}^2\text{H} + \alpha \rightarrow p + \alpha + n$  реакції шляхом реєстрації  $\alpha$ -збігу досліджувалися параметри першого збудженого стану  ${}^5\text{He}$ , а в даній роботі з цієї ж реакції вивчається інша п'ятинуклонна система -  ${}^5\text{Li}$ , незв'язані основний та збуджений стани якої розпадаються з вильотом протону та  $\alpha$ -частинки.

Реакція, метод	$^5\text{Li}_{(3/2)}$ основний стан $E_r$ – положення резонансу, МeВ	$^5\text{Li}_{(3/2)}$ основний стан $\Gamma$ – ширина резонансу, МeВ	$^5\text{Li}_{(1/2)}$ 1-й збудже- ний стан $E$ – положен- ня резонансу, МeВ	$^5\text{Li}_{(1/2)}$ 1-й збудже- ний стан $\Gamma$ – ширина резонансу, МeВ	Рік, посилання
<i>Експеримент</i>					
Пружне $\alpha + p$ розділення	1.53	1.42	4.74	8.89	1970, [6]
$^6\text{Li}(^3\text{He}, \alpha\alpha)p$	1.96	$1.40 \pm 0.15$			1993, [1]
$^4\text{He}(^7\text{Li}, ^6\text{He})^5\text{Li}$	$1.76 \pm 0.06$	$1.18 \pm 0.13$	$3.84 \pm 0.56$	$4.1 \pm 2.5$	1985, [3]
$^6\text{Li}(^{12}\text{C}, ^{13}\text{C})^5\text{Li}$	$1.86 \pm 0.01$	$1.44 \pm 0.08$	$4.64 \pm 0.5$	$6.1 \pm 2.8$	1985, [3]
$^3\text{He}(\text{d}, \gamma)^5\text{Li}$	$1.72 \pm 0.03$	$1.28 \pm 0.03$			1991, [12]
$^3\text{He}(\alpha, \text{d})^5\text{Li}$	1.96	1.9 $\pm$ 0.25	$4.76 \pm 0.35$	$1.64 \pm 0.25$	1985, [4]
$^3\text{He}(\alpha, \text{d})^5\text{Li}$	1.9 $\pm$ 0.2	1.2 $\pm$ 0,	$4.9 \pm 0.20$	$1.84 \pm 0.23$	1993, [5]
$^2\text{H}(\alpha, p\alpha)n$	$2.14 \pm 0.5$	$1.3 \pm 0.5$	$4.8 \pm 0.5$	$2.0 \pm 0.5$	Дана робота
Компіляція	$1.96 \pm 0.05$	$\cong 1.5$	5.0 - 10.0	$5.0 \pm 2.0$	1988, [7]
<i>Teорія</i>					
Метод амплітуди розділення	1.637	1.292	2.858	6.082	1976, [8]
S-матричний підхід у методі резонуючих груп (MPG)	1.67	1.33	2.70	6.25	1997, [8]
Розширений R-матричний підхід	1.69	1.23	3.18	6.60	1997, [8]

На циклотроні У-120 у кінематично-повному експерименті досліджувалася реакція  $^2\text{H}(\alpha, p\alpha)n$ , спричинена взаємодією  $\alpha$ -частинок з енергією 27.2 MeВ з дейтеро-поліетиленовою мішенню. Товщина ( $\text{CD}_2$ )<sub>n</sub>-мішень 400 мкг/см<sup>2</sup>. Методика експерименту аналогічна до описаної в [9]. Заряджені частинки у вихідному каналі реєструвались двома  $\Delta E$ -Е телескопами, які складалися з кремнієвих поверхнево-бар'єрних  $\Delta E$ -детекторів товщиною 0,05 мл та кремнієвих, легованих літієм, Е-детекторів товщиною 1,2 мл. Тілесні кути для обох телескопів дорівнювали 1.38 мстери.

Однією з основних умов коректності отримання параметрів незв'язаних станів легких ядер у кореляційному експерименті є правильне визначення ділянки фазового простору, де домінує механізм утворення резонансів ядра  $^5\text{Li}$ . Кути детекторів для реєстрації  $\alpha$ -частинок ( $\theta_\alpha$ ) та протонів ( $\theta_p$ ) вибиралися таким чином, щоб задоволити кінематичні умови, при яких внесок від механізму збудження й подальшого розпаду основного та першого збудженого станів ядра  $^5\text{Li}$  є максимальним при мінімальному вкладі інших можливих механізмів проходження цієї тричастинкової реакції, таких як взаємодія в кінцевому стані nn-p пари, квазівільного розсіяння та прояв збудження й розпаду станів  $^5\text{He}$ . Оптимальними виявилася такі кути для реєстрації  $p\alpha$ -збігів:  $\theta_p = 18.9^\circ$ ,  $\theta_\alpha = 22.25^\circ$ ,  $\Delta\phi = 180^\circ$ . При цьому слід розглядати для подальшого вивчення лише верхню гілку матриці  $p\alpha$ -збігів, так як для нижньої гілки можливий прояв механізму n-p взаємодії в кінцевому стані, оскільки відносна енергія в n-p парі близька до нуля.

У результаті ‘off line’-обробки експериментальних даних за допомогою описаного в роботі [11] пакета програм було отримано прокалібровані матриці  $p\alpha$ -збігів. Критерієм перевірки істинності калібрування і відповідного виставлення кутів реєстрації продуктів тричастинкової реакції може бути ступінь відповідності подій на отримані у результаті сортування та калібрування матриці збігів до кінематичної кривої, обчисленої для

геометричних умов дослідження даної реакції (див. рис. 1). З рисунка видно, що для  $\theta_p = 18.9^\circ$ ,  $\theta_\alpha = 22.25^\circ$ , в матриці Е<sub>p</sub>-Е<sub>α</sub> збігів заповнена головним чином верхня гілка локусу.

На рис. 2 наведено одновимірний спектр, отриманий в результаті проектування верхньої гілки вищезгадованого двовимірного спектра  $\alpha$ -збігів. В отриманому спектрі спостерігаються два широких піки, що відповідають утворенню і розпаду на протон та  $\alpha$ -частинку основного та першого збудженої рівнів ядра  ${}^5\text{Li}$ . При цьому амплітуди цих двох широких резонансних структур приблизно рівні. Для того, щоб отримати значення параметрів незв'язаних станів  ${}^5\text{Li}$ , експериментальні спектри підганялися за методом найменших квадратів в рамках моделі послідовного розпаду з використанням формули Брейта - Вігнера

$$\frac{d^3\sigma}{(\Omega_\alpha \Omega_p dE_p)} \sim \rho \times \sum_i (C_i / [(E - E_{ri})^2 + (\Gamma_i^2/4)]), \quad (1)$$

де  $\rho$  - множник фазового простору;  $E_{ri}$ ,  $\Gamma_i$  - відповідно положення та ширина збудженої та основного станів ядра  ${}^5\text{Li}$ ;  $C_i$  - відносний внесок кожного з резонансів. Результати розрахунків за формулою (1) з врахуванням реальної енергетичної роздільності детекторів, позначені на рис. 2 суцільною лінією. Очевидно, що основним механізмом проходження досліджуваної  ${}^2\text{H}(\alpha, \alpha)p$  тричастинкової реакції для пар кутів  $\theta_\alpha = 22.25^\circ$ ;  $\theta_p = 18.9^\circ$  є збудження основного та першого збудженої станів ядра  ${}^5\text{Li}$  з подальшим розпадом цих резонансів на  $\alpha$ -частинку та протон. У результаті підгонки були отримані такі параметри для основного  $E_r = (2.14 \pm 0.5)$  MeV,  $\Gamma = (1.30 \pm 0.5)$  MeV та першого збудженої станів ядра  ${}^5\text{Li}$ :  $E_r = (4.8 \pm 0.5)$  MeV,  $\Gamma = (2.0 \pm 0.5)$  MeV.

Отримані в даному експерименті результати, в основному, узгоджуються з даними інших дослідників (див. таблицю) за винятком ширини першого збудженої рівня. Це пов'язане з тим, що енергія налітаючих  $\alpha$ -частинок у нашому експери-

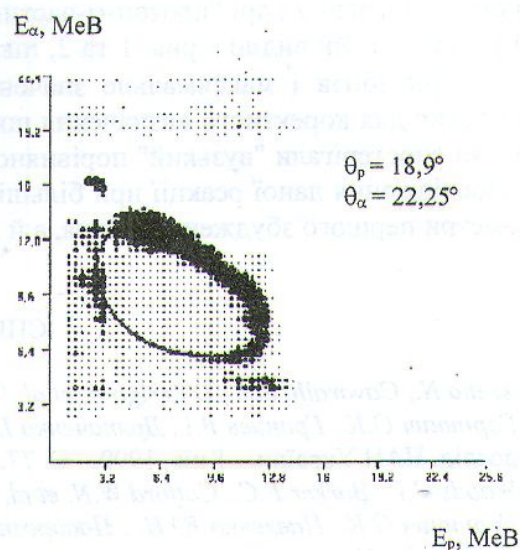


Рис. 1. Матриця  $\alpha$ -збігів з реакції  ${}^2\text{H}(\alpha, \alpha)p$  (суцільною лінією нанесено відповідну кінематичну криву).

$$\frac{d^3\sigma}{d\Omega_p \Omega_\alpha dE_p}, \text{ від. од.}$$

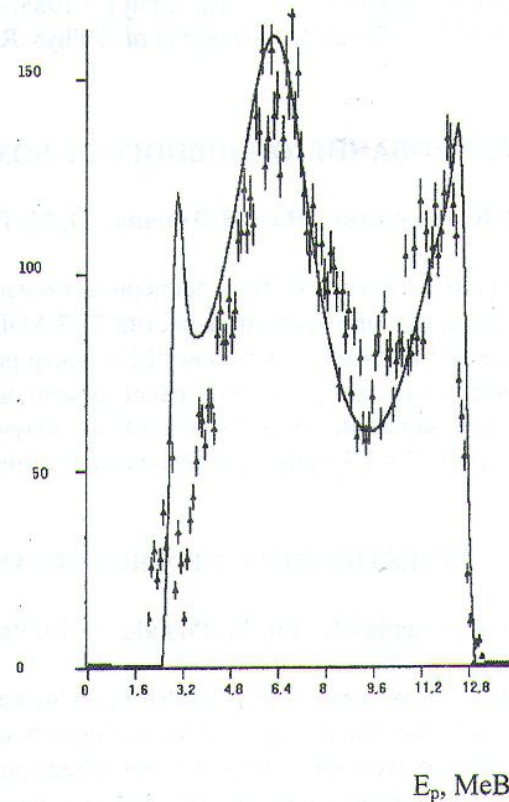


Рис. 2. Проекція верхньої гілки  $\alpha$ -збігів на вісь енергії.

менті в даних кінематичних умовах недостатня для реалізації всього можливого діапазону відносних енергій у парі "протон- $\alpha$ -частинка" ( $E_{p\alpha}$ ), які відповідають утворенню збудженого стану ядра  ${}^5\text{Li}$ . Як видно з рис. 1 та 2, пік, що відповідає даному резонансу, лежить на краю матриці  $\rho\alpha$ -збігів і максимальне значення відносної енергії  $E_{p\alpha}$  дорівнює 5.7 MeV, яке недостатнє для коректного визначення ширини резонансу з дуже малим часом життя, і саме тому ми спостерігали "вузький" порівняно з іншими даними резонанс збудженого стану ядра  ${}^5\text{Li}$ . Дослідження даної реакції при більшій енергії взаємодії дасть змогу не тільки уточнити параметри першого збудженого рівня, а й дослідити високозбуджені рівні ядра  ${}^5\text{Li}$ .

#### СПИСОК ЛІТЕРАТУРИ

1. Arena N., Cavarallo Seb., D'Arrigo A. et al. // Nuovo Cimento. - 1993. - Vol. 106A., No. 8. - P. 1007.
2. Горпинич О.К., Гранцев В.І., Дряпаченко І.П. та ін. // Матеріали щоріч. наук. конф. Ін-ту ядерних дослід. НАН України. - Київ, 1999. - С. 77.
3. Woods C.L., Barker F.C., Catford W.N. et al. // Aust. J. Phys. - 1988. - Vol. 41. - P. 525.
4. Горпинич О.К., Павленко Ю.Н., Поворозник О.М., Стружко Б.Г. // Изв. РАН. Сер. физ. - 1993. - Т. 57. - С. 121.
5. Немец О.Ф., Ясногородский А.М., Осташко В.В., Поворозник О.М. // Письма в ЖЭТФ. - 1982. - Т. 35. - С. 537.
6. Bond J.E. and Firk F.W.K. // Nucl. Phys. A. - 1977. - Vol. 287. - P. 317.
7. Ajzenberg-Selove F. // Nucl. Phys. A. - 1988. - Vol. 490. - P. 1.
8. Ahmed M.U., Shanley P.E. // Phys. Rev. Lett. - 1976. - Vol. 36. - P. 25.
9. Гранцев В.І., Дряпаченко І.П., Пірнак Bim.M та ін. // Матеріали щоріч. наук. конф. Ін-ту ядерних дослід. НАН України. - Київ, 1997. - С. 87.
10. Конфедератенко В.И., Патлань Ю.В., Стружко Б.Г. // Накопление и обработка спектров на малых ЭВМ. - Киев, 1984. - 16 с. - (Препр. / АН УССР. Ин-т ядерных исслед.; КИЯИ-84-9).
11. Barker F.C., Woods C.L. // Aust. J. Phys. - 1985. - Vol. 38. - P. 563.
12. Balbes M.J., Feldman G., Kramer et al. // Phys. Rev. C. - 1991. - Vol. 43. - P. 343.

#### ИССЛЕДОВАНИЕ ОСНОВНОГО И ВОЗБУЖДЕННОГО СОСТОЯНИЙ ЯДРА ${}^5\text{LI}$

О. К. Горпинич, Вит. Н Пирнак, О. М. Поворозник, Ю. С Рознюк, Б. Г. Стружко

В кінематично полном эксперименте исследовалась  $\alpha+d$  система с помощью трехчастичной реакции  ${}^2\text{H}(\alpha, \rho\alpha)n$  при энергии  $\alpha$ -частиц 27.2 MeV. Определены параметры наблюдаемого основного и первого возбужденного состояния  ${}^5\text{Li}$ . Спектр  $\rho\alpha$ -совпадений был описан в предположении модели последовательного возбуждения и распада возбужденного и основного состояний  ${}^5\text{Li}$  по  $\alpha+p$  каналу. Оптимальное согласие с экспериментом получено для таких значений параметров основного  $E_{ap} = 2,14$  MeV,  $\Gamma = 1.3$  MeV и первого возбужденного состояний:  $E_{ap} = 4.8$  MeV,  $\Gamma = 2.0$  MeV ядра  ${}^5\text{Li}$ .

#### INVESTIGATION OF GROUND AND FIRST EXITED STATES OF ${}^5\text{Li}$

O. K. Gorpinich, Vit. M. Pirnak, O. M. Povoroznyk, Yu. S. Roznyuk, B. G. Struzhko

The  $\alpha + d$  system was investigated in a kinematically complete experiment by  ${}^2\text{H}(\alpha, \rho\alpha)n$  three-body reaction with an  $\alpha$ -beam energy 27.2 MeV. The unbound first excited and ground states of  ${}^5\text{Li}$  were observed and its parameters were determinated. Coincidence  $\rho\alpha$ -spectrum was fitted by model of the sequential decay  ${}^5\text{Li}$  ground and excited states through the  $\alpha+p$  channel. The best agreement with the data was obtained assuming the following parameters of ground state:  $E_{ap} = 2,14$  MeV,  $\Gamma = 1,30$  MeV; and of first excited state:  $E_{ap} = 4.8$  MeV,  $\Gamma = 2,0$  MeV.